Oxidative Kopplung von Kohlendioxid mit substituierten Furfuryliden-iminen an Nickel(0)-Zentren: Struktur und Reaktivität der gebildeten Nickelacyclen

Dirk Walther*,a, Rainer Kilian, Heike Schreer und Helmar Görls

Jena, Institut für Anorganische und Analytische Chemie der Friedrich-Schiller-Universität

Bei der Redaktion eingegangen am 22. November 2001.

Professor Walter Siebert zum 65. Geburtstag gewidmet

Inhaltsübersicht. Die oxidative Kopplung zwischen Benzaldehyd-Nfurfuryliden-imin, CO₂ und Ni(cod)₂ führt in THF oder 1.4-Dioxan auch bei einem großen Überschuss an Schiffscher Base zur Ausbildung eines metallorganischen hexameren Macrocylus **1a** (s. Text, Abb. 1).

1a reagiert mit Ph₃P unter partieller Eliminierung von CO₂ zum tetranuclearen Komplex 2, der zwei Nickelaaziridinringe enthält, die mit zwei nickelacyclischen Carbamaten verknüpft sind. Die Protolyse von 1a führt überraschenderweise unter CO₂-Eliminierung zu einem metallorganischen Produkt 3, in dem nach Ausweis der Kristallstrukturanalyse eine Ni-C-Bindung in einem (protonierten) Nickelaaziridinring vorliegt.

p-Hydroxybenzaldehyd-N-furfuryliden-imin (B), CO₂ und Ni(cod)₂ reagieren unter oxidativer Kopplung zum Nickelacyclus **4**, in dem

die monomeren metallacyclischen Einheiten über ein Wasserstoffbrückennetzwerk zu einem polymeren supramolekularen System verknüpft sind. Zwei Schiffsche Basen $\bf B$ in $\bf 4$ koordinieren als N-Donorliganden am Ni^{II}-Zentrum, und eine dritte Schiffsche Base B fungiert als Substrat für ${\rm CO}_2$.

Ferrocen-carbaldehyd-N-furfuryliden-imin liefert in Gegenwart von bipy den monomeren Nickelacyclus 22 mit intakter Ferrocenyleinheit. Die Festkörperstrukturen von 2, 3, 4 und 22 wurden durch Kristallstrukturanalyse bestimmt. Der Vergleich von CO-Valenzschwingungsbanden unterschiedlicher Komplexe ermöglicht es, die Art der Koordination der Carbamatgruppen in Nickelacyclen mit anderen Schiffschen Basen zu erkennen.

Furfurylidene-imines as Components of the Oxidative Coupling with CO₂ at Nickel(0) centers: Influence of the Substituents on the Structure of the resulting Nickelacycles

Abstract. The oxidative coupling between benzaldehyd-N-furfurylidene-imine, CO_2 und Ni(cod)₂ results in THF or 1.4-dioxane in the formation of the organometallic macrocycle $\mathbf{1a}$, even if a large excess of Schiff base was used. $\mathbf{1a}$ reacts with Ph_3P under partial elimination of CO_2 to form the tetranuclear complex $\mathbf{2}$, which contains two nickela-aziridine rings linked with two nickelacyclic carbamates. Surprisingly, the protolysis of $\mathbf{1}$ followed by elimination of CO_2 results in the formation of the organometallic product $\mathbf{3}$ which also contains a Ni-C bond in a (protonated) nickelaaziridine ring.

Para-hydroxybenzaldehyd-N-furfurylidene-imine (**B**), CO₂ und Ni-(cod)₂ react under oxidative coupling to form the nickelacycle **4**, in which the monomeric metallacyclic units are connected by a hydrogen-bonded network to form a polymeric supramolecular system. Two of the Schiff bases $\bf B$ coordinate as N-donors at the Ni^{II} center, the third Schiff base acts as the substrate for CO₂. Ferrocene-carbaldehyde-N-furfurylidene-imine forms in the presence of bipy the monomeric nickelacycle 22 containing the intact ferrocenyl unit. The solid-state structures of 2, 3, 4, and 22 were determinated by X-ray crystallography. Comparison of CO valence frequencies allows to indicate the coordination mode in nickelacycles with other Schiff bases.

Keywords: Carbon dioxide fixation; Carboxylato ligands; Nickel; Schiff bases.

am Nickel(0)-Zentrum aufgebaut wird und dessen Reaktivi-

Einleitung

Vor kurzem haben wir einen ungewöhnlichen metallorganischen Macrocyclus des Nickel(II) synthetisiert, der durch Reaktion von Benzaldehyd-N-furfurylidenimin (A) mit CO₂

tät außergewöhnlich interessant ist [1]. Dieses cyclische Hexamer 1a fungiert nicht nur als ein reversibles CO₂-Speichersystem, sondern es isomerisiert auch in einer lösungsmittelabhängigen reversiblen Reaktion zu einem Dimeren 1b (Abbildung 1). 1a und 1b unterscheiden sich also nur durch die Art der Koordination der Carbamatogruppen. Dieser leichte Wechsel der Koordinationsart der Carbamatogruppe ist wegen des Vorkommens von N-COO-M-Bindungen in einigen Metalloenzymen auch von Interesse für biokatalytische Reaktionen [2–8]. So enthalten z.B. Ureasen zwei Ni^{II}-Zentren, die über eine Carbamatogruppe in

gleicher Weise wie in 1a verbrückt sind [2]. Welche Funk-

* Prof. D. Walther Institut für Anorganische und Analytische Chemie der Universität August-Bebelstraße 2 D-07743 Jena Fax: 03641-948102

e-mail cdw@rz.uni-jena.de

tion der Carbamatoligand im biokatalytischen Cyclus der hydrolytischen Spaltung von Harnstoff ausübt und ob dabei ein Wechsel der Kordinationsart der Carbamatogruppe erfolgt, ist dabei noch unbekannt.

Ungewöhnlich ist auch, dass 1a leicht unter Spaltung von Ni-O- bzw. Ni-N-oder Ni-P-Bindungen reagiert, während die Ni-C-Bindungen bemerkenswert stabil sind.

In dieser Arbeit berichten wir über Reaktionen, in denen die beobachtete Inertheit der Ni-C-Bindungen von **1a** für die Synthese weiterer ungewöhnlicher Nickelorganoverbindungen genutzt wird. Außerdem werden neue oxidative Kopplungsreaktionen von CO₂ mit substituierten Furfurylideniminen an Nickel⁰-Zentren untersucht, in denen die Schiffschen Basen sowohl steuernde Liganden als auch Substrate für CO₂ sind. Vergleichende IR-Untersuchungen – auch an Nickelacyclen, die zusätzliche Neutralliganden enthalten – lassen Schlüsse auf die Art der Verknüpfung der monomeren nickelacyclischen Einheiten zu.

Ergebnisse und Diskussion

Zur Bildungsreaktion von 1a/1b

Um festzustellen, ob der Metallamacrocyclus vom Typ 1a sich auch bildet, wenn ein großer Überschuss an Schiffscher Base A eingesetzt wird, wurde die Kopplungsreaktion von Kohlendioxid in THF mit einem zehnfachen Überschuss an Benzaldehyd-N-furfurylidenimin (Ligand A) durchgeführt. Auch unter diesen Bedingungen bildet sich in glatter Reaktion der Macrocyclus 1a (Abb.1). Eine Spaltung der Carbamatbrücken durch die N-Donoratome der überschüssigen Schiffschen Base A konnte also nicht beobachtet werden – ganz im Gegensatz zu der unten beschriebenen Umsetzung mit der para-hydroxysubstituierten Schiffschen Base B. Auch wenn die oxidative Kopplung in Methyltetrahydrofuran oder 1.4-Dioxan durchgeführt wird, entsteht ebenfalls der Metallamacrocyclus vom Typ 1a, der anstelle von THF

nunmehr Me-THF oder Dioxan im Kristall enthält. Die Bildung des cyclischen Hexameren ist also begünstigt, wenn in polaren aprotischen Lösungsmitteln gearbeitet wird.

In Benzol, Toluol oder anderen unpolaren Lösungsmitteln, sowie in 1:1-Mischungen aus THF und Benzol bildet sich hingegen immer das dimere Isomere 1b (Abb. 1), auch dann, wenn ein großer Überschuss von Ligand A verwendet wird. Diese Lösungsmittelabhängigkeit ist ungewöhnlich und bisher noch nicht verstanden. Aus diesem Befund lässt sich aber ableiten, dass die Energieunterschiede der Isomeren offensichtlich nur sehr gering sind. Daher sollten geringfügige Änderungen, z.B. die Verwendung substituierter Furfurylidenimine als Substrate der oxidativen Kopplung mit CO₂ sich stark auf auf die Strukturen der gebildeten metallorganischen Kopplungsprodukte auswirken.

Reaktion des Metallamakrocyclus 1a mit Triphenylphosphin

Wenn das cyclische Hexamer **1a** mit Triphenylphosphin im Molverhältnis (1 : 1) bei Raumtemperatur umgesetzt wird, entsteht in THF unter partieller CO₂-Eliminierung eine tiefrote bis schwarze kristalline Verbindung der analytischen Zusammensetzung "[(Ph₃P)A₂Ni₂(CO₂)]_n" (Verbindung **2**), die in allen Lösungsmitteln so schwerlöslich ist, dass NMR-Spektren nicht aufgenommen werden konnten. Abbildung 2 zeigt die Bildungsreaktion.

Im IR-Spektrum wird neben der C=N-Valenzschwingungsbande bei 1571 cm⁻¹ im Bereich der CO-Valenzschwingungen eine intensive Bande bei 1583 cm⁻¹ gefunden. Das Massenspektrum von 2 zeigt als Peak höchster Molmasse lediglich den Molpeak von Triphenylphoshin und der verwendeten Schiffschen Base.

Die Festkörperstruktur von 2 wurde durch Kristallstrukturanalyse bestimmt. Abbildung 3 zeigt die asymmetrische

Abb. 1 Strukturformeln von hexamerem **1a** und dimerem **1b**, hergestellt aus Benzaldehyd-N-furfuryliden-imin, CO₂ und Ni(COD)₂ in THF oder 1.5-Dioxan (**1a**) oder Toluol (**1b**) (R¹: Benzyliden-; R²: Furfuryliden-) [1]

Abb. 2 Bildungsreaktion des Tetrameren **2** (R¹: Benzyliden-; R²: Furfuryliden-)

Abb. 3 Molekülstruktur der Verbindung **2** mit ausgewählten Atomabständen/Å und Bindungswinkeln/°:

Ni1—P 2.137(3), Ni1—O4 1.974(7), Ni1-N1 1.919(7), Ni1-C6 1.939(10), Ni2-O3 2.029(6), Ni2-O3A 1.848(7), Ni2-N1 1.874(8), Ni2-C18A 1.974(10), C25-O4 1.246(12), C25-O3 1.347(11), C25-N2 1.362(12), N2-C18 1.467(12), P-Ni1-N1 151.8(3), P-Ni1-O4 99.9(2), P-Ni1-C6 108.5(3), O4-Ni1-C6 151.2(3), O4-Ni1-N1 108.0(3), C6-Ni1-N1 43.4(4), N1-Ni2-O3 96.0(3), N1-Ni2-O3A 169.3(3), N1-Ni2-C18A 100.7(4), O3-Ni2-O3A 78.2(3), O3-Ni2-C18A 161.3(3), O3A-Ni2-C18A 86.6(3), O4-C25-O3 123.9(10), C25-N2-C18 121.0(8), Ni2-O3-Ni2A 101.8(3).

Symmetrieoperationen für äquivalente Atome A: -X+1, -Y+1, -Z.

Einheit und listet die relevanten Bindungslängen und -winkel auf.

Nach Ausweis der Kristallstrukturanalyse liegt eine tetramere Verbindung vor, in der alle vier Nickelatome planarquadratische Koordination haben. Jeweils zwei Nickel(II)-Zentren weisen eine gleichartige koordinative Umgebung auf. An den beiden äußeren Nickel-Zentren koordiniert jeweils ein Triphenylphosphin, ein Sauerstoffatom einer Carbamatogruppe, sowie eine *side on* gebundene Schiffsche Base. Die N-Atome der *side on* koordinierten Schiffschen Basen wirken außerdem als Brückenliganden und verknüpfen jeweils ein äußeres mit einem inneren Nickel-Zentrum. Die beiden inneren Ni-Zentralatome sind Bestandteile eines nickelacyclischen Fünfrings mit jeweils einer Ni-C- und einer Ni-O-Bindung. Ein weiteres Sauerstoffhaftatom des nachbarständigen Carbamatoliganden vervollständigt die Koordinationssphäre.

Insgesamt besteht das Tetramer 2 also aus zwei Chelatdreiringen (Nickelaaziridinen), einem mittleren Ni₂O₄-Vierring, zwei Chelatfünfringen (Nickelacyclen mit jeweils einer Ni-C-Bindung) und zwei Dinickela-Chelatsechsringen. Die beiden Carbamatogruppen fungieren jeweils als dreizählige Brückenliganden, die drei Nickel(II)-Zentren miteinander verknüpfen. Die Carbamatoliganden weisen also im Vergleich zur Ausgangsverbindung eine unterschiedliche Koordination auf. Nach unserer Kenntnis ist eine dreizählige Carbamatobrücke, die drei Nickel(II)-Zentren miteinander verbindet, bisher lediglich in einer von *Calderazzo* untersuchten gemischten Ni₆Zn₂-Verbindung gefunden worden, in der allerdings die Nickel-Zentralatome eine trigonal-bipyramidale Koordination aufweisen [9].

Ungewöhnlich ist auch die Bildung von Nickela-aziridinringen bei der CO₂-Eliminierung aus dem metallacyclischen Fünfring. Solche Aziridinringe mit Nickel als Ringglied sind bisher nur selten und auf anderen Wegen hergestellt worden. Ausgehend von Ni⁰-Komplexen und 1.3-Diazabutadienen mit elektronenziehenden Substituenten konnte z.B. *Kharsch* einen monomeren Komplex strukturell charakterisieren, in dem die C=N-Bindungen olefinanalog gebunden sind und das N-Atom nicht als verbrückendes Donoratom wirkt [10]. Ein trimerer Nickelkomplex mit olefinanaloger C=N-Koordination und Brückenfunktion des Azomethinstickstoffatoms ist bereits seit längerem bekannt [11].

Die Ni-C-Abstände in **2** liegen mit 1.974(10) und 1.939(10) Å im normalen Bereich. Die Ni-O-Abstände sind unterschiedlich und variieren von 1.848(7) bis 2.029 Å. Der C-N-Abstand im Nickelaaziridinring entspricht mit (1.425(12) erwartungsgemäß dem einer Einfachbindung.

Die Bildung des Tetrameren 2 aus der cyclischen hexameren Verbindung 1a setzt voraus, dass die Reaktion entweder über dimere oder monomere Zwischenstufen erfolgt. Einleitender Schritt dürfte dabei die Substitution einer Schiffschen Base an der Peripherie durch Ph₃P sein. Die nachfolgende schnelle CO₂-Eliminierung aus einer brückenbildenden Carbamatgruppe kann dann zum Nikkelaaziridinring führen, wobei die Verknüpfung zweier Ni^{II}-Zentren erhalten bleiben dürfte und nunmehr über das N-Atom der side on gebundenen Schiffschen Base realisiert wird. Zwangsläufig muss dabei auch der Metallamacrocyclus aufgebrochen werden. Die nachfolgende Reorganisation zum Tetrameren 2, deren Ablauf noch unklar ist, muss schneller sein als die Substitution weiterer peripherer Schiffscher Basen durch Triphenylphosphin. Anderenfalls sollten auch weitere nickelacyclische Einheiten CO₂ eliminieren, so dass andere Produkte als der tetranucleare Komplex 2 entstehen sollten.

Die beschriebene Tetramerisierung unter Eliminierung Schiffscher Basen und Abgabe von CO_2 kann auch thermisch ausgelöst werden [1]. Dabei entsteht ebenfalls ein tetranuclearer Komplex , der allerdings anstelle der in $\mathbf 2$ vorhandenen Ph_3P Moleküle zwei Schiffsche Basen als N-Donorliganden enthält.

Protolysereaktion von 1a

Um zu untersuchen, ob in **1a** die Ni-C-Bindung auch erhalten bleibt, wenn die Verbindung mit Protonen zur Reaktion gebracht werden, wurde das Cyclohexamer **1a** mit [Et₃NH⁺] Cl⁻ oder anderen organischen Ammoniumchloriden in THF versetzt. Prinzipiell kann der Angriff des Protons an mehreren Positionen des Cyclohexamers erfolgen. Neben der Ni-C- und der Ni-O-Bindung des Metallacyclus ist auch der Primärangriff auf das N-Atom des Metallacyclus denkbar, aber auch eine Attacke auf die als N-Donorligand fungierende Schiffsche Base.

Die Protolyse verläuft schnell und überraschend selektiv und führt zum Komplex 3, der in Form dunkelroter Kristalle in sehr guter Ausbeute (80 %) aus der Lösung gewonnen werden kann. Nach Ausweis der Elementaranalyse, der Massen- und IR-Spektren entsteht eine CO₂-freie Verbindung der analytische Zusammensetzung "[ANi(-AH)Cl]", die in THF wenig und in Kohlenwasserstoffen praktisch unlöslich ist. Daher war die Aufnahme von NMR-Spektren nicht möglich.

Im IR-Spektrum von 3 zeigt die $v_{C=N}$ -Bande bei 1617 cm $^{-1}$ an, dass die im Startkomplex 1a über das freie N-Elektronenpaar am Ni-Atom koordinierte Schiffsche Base unverändert vorliegt, während keine CO-Valenzschwingungsbande zu identifizieren ist.

Die Festkörperstruktur von Verbindung 3 wurde durch Kristallstrukturanalyse an Einkristallen aufgeklärt. Abbildung 4 zeigt die Molekülstruktur und enthält in der Legende ausgewählte Bindungslängen und -winkel. Nach Ausweis der Strukturanalyse liegt ein planar-quadratischer Ni^{II}-Komplex vor, in dem die im Ausgangskomplex vorhandene koordinierte Schiffsche Base als N-Donorligand gebunden ist.

Als Ergebnis der Protolysereaktion hat sich überraschenderweise ein (Ni-CHR-NHR'-)- Dreiring gebildet, der als konjugierte Säure des im Tetramer 2 vorliegenden Nickelaaziridinringes aufgefasst werden kann. Seine Bildungsweise lässt sich durch primären Angriff des Protons an die Ni-O-Bindung des Ausgangsnickelacyclus erklären, der zur freien Nickelacarbaminsäure führt. CO₂-Eliminierung liefert dann den Nickelaaziridin-Dreiring. Die planare Anordnung um das Zentralatom wird durch Koordination eines Chloroliganden erreicht (Schema 1).

Die alternative Attacke des Protons an die Ni-C-Bindung, entweder durch die Ammoniumverbindung als Ausgangsstoff oder durch die als Zwischenprodukt gebildete Carbaminsäure, wurde nicht beobachtet. Bei der schonenden Protolyse des cyclischen Hexameren wird also überraschenderweise ebenfalls die Ni-C-Bindung nicht gespalten, was erneut die ungewöhnliche Stabilität dieser Bindung demonstriert.

Die C-N-Bindung des Dreirings in 3 entspricht mit 1.430(3) Å einer Einfachbindung. Die entsprechende Bindungslänge der C-N-Bindung im Tetramer 2 ist demgegenüber nicht signifikant unterschieden.

Die in 3 realisierte Dreiringstruktur ist bisher nur in wenigen nickelorganischen Verbindungen gefunden worden

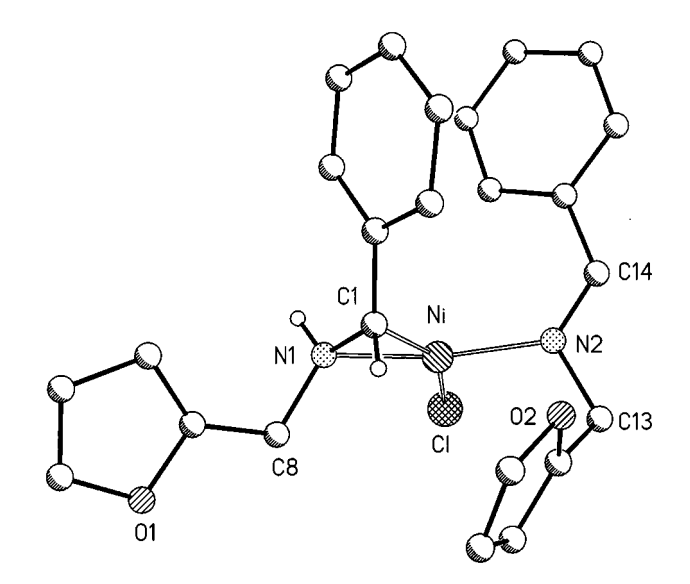


Abb. 4 Molekülstruktur des Protolyseproduktes **3** mit ausgewählten Atomabständen/Å und Bindungswinkeln/°:

Ni-Cl 2.2656(8), Ni-N1 1.897(2), Ni-N2 1.898(2), Ni-Cl 1.908(3), N1-Cl 1.430(3), N1-C8 1.469(4), N2-Cl3 1.492(4), N2-Cl4 1.289(4), CL-Ni-N1 107.86(7), CL-Ni-N2 99.41(7), CL-Ni-Cl 151.85(8), N1-Ni-N2 152.6(1), N1-Ni-Cl 44.2(1), N2-Ni-Cl 108.5(1), Cl-N1-C8 119.9(3), Cl3-N2-Cl4 117.3(2).

1a
$$\stackrel{+H^+}{+Cl^-}$$
 6 $\stackrel{R^2}{\downarrow}$ $\stackrel{R^1}{\downarrow}$ $\stackrel{R^2}{\downarrow}$ $\stackrel{R^2}{\downarrow}$ $\stackrel{R^1}{\downarrow}$ $\stackrel{R^2}{\downarrow}$ $\stackrel{R^2}{\downarrow}$ $\stackrel{R^1}{\downarrow}$ $\stackrel{R^2}{\downarrow}$ $\stackrel{R^2}{\downarrow}$ $\stackrel{R^1}{\downarrow}$ $\stackrel{R^2}{\downarrow}$ $\stackrel{R^2}$

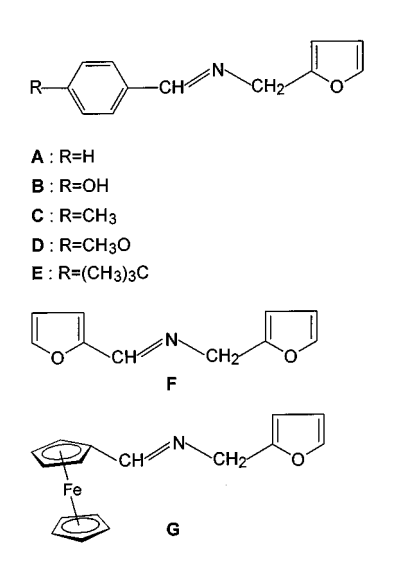
Schema 1 Bildungsreaktion von Verbindung 3 (R^1 : Benzyliden-; R^2 : Furfuryliden-)

[12-14]. So verdrängt z.B. das Imminiumion (CH₂=NH-R)⁺ das Ethylen in (Ph₃P)₂Ni(CH₂=CH₂) unter Bildung eines Nickela-aziridinrings [12]; Metalla-aziridinringe mit d-elektronenarmen Metallen, die auf anderen Wegen hergestellt wurden, sind ebenfalls bekannt [ausgewählte Literatur: 15-25].

Aufbaureaktion des Nickelacyclus 4 aus p-Hydroxybenzaldehyd-N-furfurylidenimin, CO₂ und Ni(cod)₂

Um festzustellen, wie die Veränderung von Substituenten an den Schiffschen Basen die Bildungsreaktion nickelacyclischer Carbamate und deren Strukturen beeinflusst, wurde eine Reihe weiterer Azomethine in der CO₂-Fixierungsreaktion am Ni⁰-Zentrum untersucht (Schema 1).

Bei der Verwendung des p-hydroxysubstituierten Derivats B in der Doppelfunktion als Substrat und steuerndem Liganden, sollte es dabei möglich sein, bestimmte Strukturen durch Ausbildung von Wasserstoffbrücken zu stabilisieren.



Schema 2 Für die oxidative Kopplung mit CO₂ verwendete Schiffsche Basen

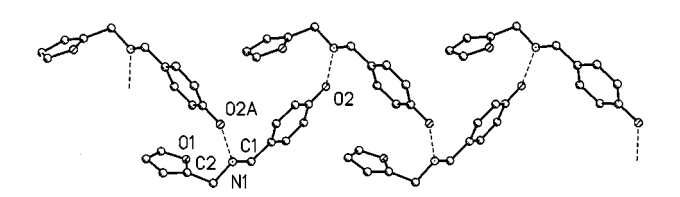


Abb. 5 Festkörperstrukturstruktur von p-Hydroxy-N-furfurylidenimin (Ligand B) mit ausgewählten Atomabständen/Å und Bindungswinkeln/°:

N1-C1 1.276(2), N1-C2 1.471(2), C1-N1-C2 116.7(1), N1-C2-C3 110.9(1), N1-C1-C7 124.6(1), N1-O2A 2.771(2).

Die Festkörperstruktur des freien Liganden **B**, ermittelt durch Kristallstrukturanalyse zeigt, dass Wasserstoffbrükken zwischen der OH-Gruppe und dem sp²-hybridisierten N-Atom einer nachbarständigen Iminofunktion ausgebildet werden (Abbildung 5). Dadurch bildet sich eine polymere Kette, die O...N-Abstände von 2.771(2) Å aufweist. Dieser relativ kurze Abstand weist auf starke Wasserstoffbindungen hin. Die anderen Bindungslängen liegen im Erwartungsbereich.

Führt man die metallorganische CO₂-Fixierungsreaktion analog der Bildungsreaktion von **1a** aus Ni(cod)₂, Schiffscher Base **B** (im Molverhältnis 1: 3) und CO₂ in THF durch, so bildet sich in einer schnellen Reaktion ein CO₂-Kopplungsprodukt, dessen Umkristallisation aus Ethanol überraschenderweise eine braungelbe Verbindung der analytischen Zusammensetzung "[**B**₂Ni(**B**-CO₂)]" (Verbindung **4**) ergibt, sie sich von der in **1a** gefundenen Zusammensetzung dadurch unterscheidet, dass sie noch eine zusätzliche Schiffsche Base enthält (Tabelle 1). **4** zeigt im Bereich der Carbonylvalenzschwingungen eine starke und breite CO-Bande bei 1598 cm⁻¹. Die C=N-Valenzschwingung der über N-Atome koordinierten Schiffschen Base ist offensichtlich durch diese Bande überlagert. Die

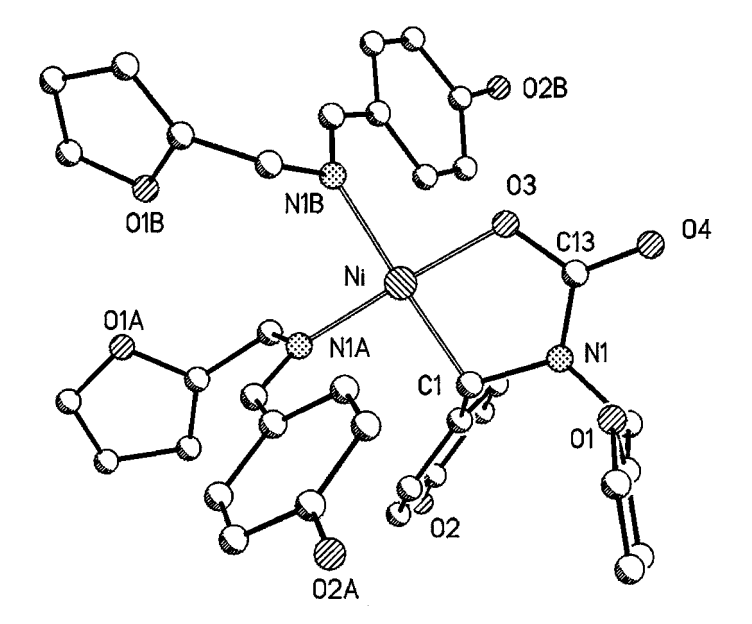


Abb. 6 Molekülstruktur von Verbindung **4** (Nickelacyclus mit p-Hydroxy-N-furfurylidenimin) mit ausgewählten Atomabständen/Å und Bindungswinkeln/°:

Ni-O3 1.876(3), Ni-C1 1.927(5), Ni-N1A 1.891(4), Ni-N1B 1.976(4), N1-C1 1.464(6), N1-C13 1.357(7), C13-O3 1.305(6), C13-O4 1.242(6), O3-Ni-C1 85.8(2), O3-Ni-N1A 176.9(2), O3-Ni-N1B 92.6(2), C1-Ni-N1A 92.0(2), C1-Ni-N1B 177.7(2), N1A-Ni-N1B 89.7(2), Ni-O3-C13 115.4(3), O3-C13-O4 123.0(5), O3-C13-N1 114.8(4), O4-C13-N1 122.2(5), C13-N1-C1 117.7(4), N1-C1-Ni 106.0(3).

OH-Valenzschwingungen sind bei 3578 und 3122 cm⁻¹ zu finden.

Abbildung 6 zeigt die durch Kristallstukturanalyse ermittelte Festkörperstruktur der Verbindung 4 und enthält eine Liste relevanter Bindungslängen und -winkel.

Nach Ausweis der Strukturanalyse hat eine gleichartige metallorganische Basisreaktion wie bei der Generierung des Metallacyclus 1a stattgefunden – die oxidative Kopplung der Schiffschen Base mit CO₂ am Nickel-Atom. Im Unterschied zu 1a stabilisiert sich aber die gebildete nickelacyclischeVerbindung jedoch völlig anders: Zwei Azomethinliganden fungieren in 4 als einzählige N-Donorliganden (während in den Verbindungen 1a und 1b nur eine Schiffsche Base koordiniert). Die gebildeten monomeren nickelacyclischen Einheiten werden zusätzlich durch ein System von Wasserstoffbrücken stabilisiert. Dieses H-Brückennetzwerk ist in Abbildung 7 wiedergegeben.

Abbildung 8 zeigt die Art der intermolekularen Verknüpfung durch Wasserstoffbrücken anhand des Formelbildes.

Jede monomere nickelacyclische Einheit hat drei OH-Gruppen, die Wasserstoffbrücken eingehen. Die beiden Hydroxylfunktionen der über die N-Donorgruppen koodinierten Schiffschen Basen fungieren als Wasserstoffbrükkenen. Wasserstoffbrücken-Akzeptoren sind nicht die N-Atome der Iminogruppen – wie im unkoordinierten Liganden – sondern die beiden Sauerstoffatome der Carboxylatgruppen benachbarter nickelacyclischer Ringe. Die

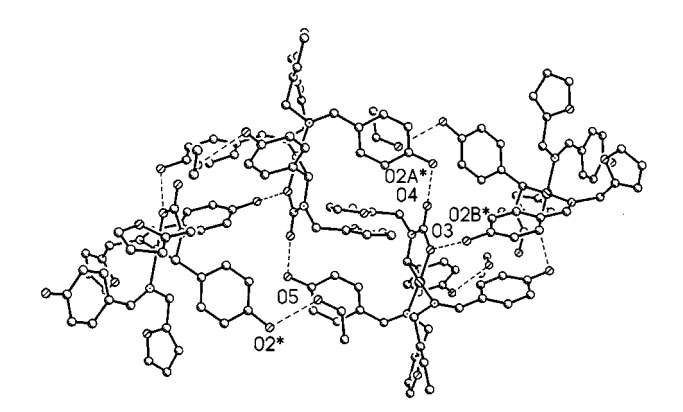


Abb. 7 Wasserstoffbrücken-Netzwerk in Komplex **4** mit ausgewählten interatomaren Abständen/Å: O3-O2B* 2.725(5), O4-O2A* 2.614(5), O5-O2* 2.698(5).

Abb. 8 Intermolekulare Verknüpfung monomerer nickelacyclischer Einheiten durch Wasserstoffbrücken in Komplex 4 (R¹: p-Hydroxybenzyliden-; R²: Furfuryliden-). Aus Gründen der Übersichtlichkeit wurde die dritte Wasserstoffbrücke zwischen R¹ und einem Solvensmolekül Ethanol nicht gezeichnet)

dritte OH-Gruppe bildet eine Wasserstoffbrücke zu einer OH-Gruppe des Ethanols aus, das zur Umkristallisation verwendet wurde. Der O...O-Abstand zwischen der OH-Gruppe und dem Carboxylsauerstoffatom (O3-O2B* = 2.725(5)) ist dabei erwartungsgemäß signifikant länger als der O...O-Abstand zwischen der OH-Gruppe und dem Carbonylsauerstoffatom O4-O2A* (2.614(5), Abbildung 7). Das Nickel(II)-Zentrum weist planare Anordnung auf. Mit 1.927(5) Å liegt die Ni-C-Bindunglänge im typischen Bereich. Auch die Ni-N-, Ni-O-, sowie die C=N-Bindungslängen entsprechen üblichen Werten [26, 27]. Ein Vergleich zwischen 1a, 1b und 4 zeigt den unerwartet gro-Ben Einfluss der para-ständigen OH-Gruppen auf die Zähligkeit der Carbamatogruppe und die Struktur der gebildeten Verbindung: Bei gleichartiger metallorganischer Grundstruktur ist die Carbamatogruppe in 1a und 1b zweizähliger Brückenligand, in 4 hingegen fungiert sie als

einzähliger Ligand. Da der elektronische Einfluss der OH-Gruppe dieses Verhalten nicht erklären kann, muss die Ausbildung eines Netzwerks von Wasserstoffbrücken für diesen Unterschied verantwortlich gemacht werden. Die Bildung von 4 zeigt also erneut, dass nickelacyclische Carbamate hinsichtlich des Koordinationsverhaltens der Carbamatogruppe sehr flexibel sind.

In diesem Zusammenhang ist von Interesse, dass im Enzym Ribulose-1.5-diphosphatcarboxylase/-oxidase ("Rubisco") eine einzählige Carbamato-Mg-Gruppe vorhanden ist, die essentiell für die CO₂-Aktivierung ist. Das wird darauf zurückgeführt, dass die N-COO-Gruppe als Protonenrelais fungiert, also im katalytischen Cyclus Protonen aufnimmt und wieder abgibt und zwar durch Reaktion des Carboxylsauerstoffatoms [1]. Die in Verbindung 4 identifizierten Wasserstoffbrücken können dabei als Vorläufer einer solchen Protonierung angesehen werden.

Untersuchungen zum Aufbau nickelacyclischer Carboxylate mit analogen Schiffschen Basen ohne und mit zusätzlichen Neutralliganden

Da die oxidative Kopplung von Schiffschen Basen und CO_2 ohne Anwesenheit anderer stabilisierender Liganden am Nickel(0)-Atom eine Reaktion ist, die bisher nur bei der Bildung von 1 und 4 beobachtet wurde und weil sich bei der Bildung dieser beiden Metallacyclen gezeigt hat, wie groß selbst der Einfluss von para-ständigen Gruppen sein kann, wurde in einer Reihe von weiterführenden Experimenten untersucht, welche anderen Azomethine außer A und B noch in der Lage sind, die Metallaringschlussreaktion mit CO_2 am Nickel(0)-Zentrum einzugehen, wenn andere Neutralliganden abwesend sind.

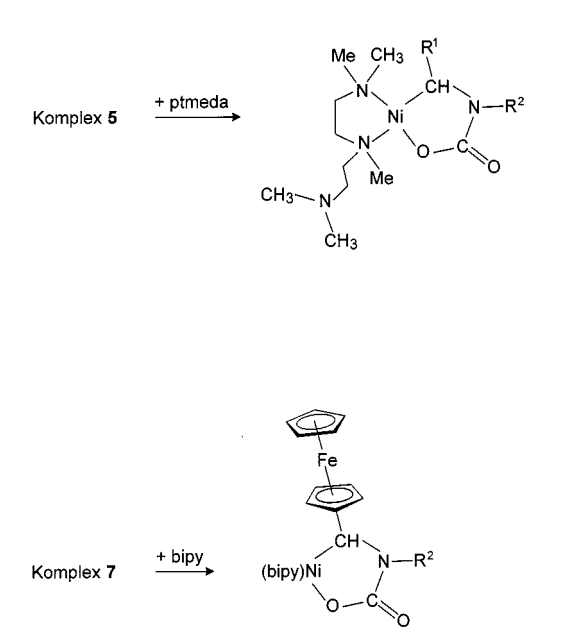
Während Benzaldehyd-N-phenylimin und dessen substituierte Derivate nicht mit CO_2 am $\mathrm{Nickel}(0)$ -Atom reagieren, wenn keine zusätzlichen Donorliganden wie z.B. bipy anwesend sind, ist mit den meisten der in Tabelle 1 aufgeführten Schiffschen Basen, die einen Furfurylidensubstituenten am Iminstickstoffatom enthalten, eine Metallaringschlussreaktion mit CO_2 bereits bei tiefen Temperaturen und bei Normaldruck möglich. Dabei entstehen Nickelacyclen der generellen Zusammensetzung $[(R^{1-}\mathrm{CH}=\mathrm{N-R^2})\mathrm{Ni-CH}(R^1)-\mathrm{N}(R^2)-\mathrm{COO-}]_n$, mit analoger Zusammensetzung wie 1a/1b, die aber nicht in Form von Einkristallen isoliert werden konnten, die zur Kristallstrukturanalyse geeignet waren.

Um dennoch Hinweise auf die Art der Verknüpfung der monomeren Einheiten ziehen zu können, wurde ein systematischer Vergleich der CO-Valenzschwingungsbanden durchgeführt. In diesen Vergleich wurden auch die Reaktionsprodukte der Nickelacyclen des Typs [(HR¹-CH=N-R²)Ni-CH(R¹)-N(R²)-COO-]_n mit 2.2′-Bipyridin (bipy) und N,N′,N″,N″-Pentamethyldiethylentriamin (pmdeta) herangezogen, die in jedem Fall zu monomeren Metallacyclen führen (Schema 3). Drei dieser monomeren Nickelacyclen wurden darüber hinaus durch Kristallstrukturanalysen charakterisiert.

Tabelle 1 Zusammensetzung und CO-Valenzschwingungen von nickelacyclischen Carbamaten, die bei der Reaktion von Schiffschen Basen mit CO₂ in Abwesenheit bzw. in Gegenwart von *bipy* oder *pmdeta* entstehen (bipy: 2.2'-Bipyridin, *pmdeta*: N, N, N',N',N"-Pentamethyl-di-ethylentriamin)

Schiff- Base	Zusammensetzung Komplex	$_{\nu_{CO}}^{IR}$	$pmdeta$ -Komplexe IR (v_{CO}) cm ⁻¹	Δ_1	bipy-Komplexe IR (v_{CO}) cm ⁻¹	Δ_2
A	1a : [(A)Ni(A-CO ₂] ₆	1550	[(pmdeta)Ni(-A-CO ₂ -)] Komplex 9 : 1618	-68	[bipyNi(-A-CO ₂ -)] Komplex 16 : 1639	-89
A	1b : [(A)Ni(A-CO ₂)] ₂	1663	[(pmdeta)Ni(-A-CO ₂ -)] Komplex 9 : 1618	45	[bipyNi(-A-CO ₂ -)] Komplex 16 : 1634	29
В	$4 : [(\mathbf{B})_2 \text{Ni}(\text{B-CO}_2]$	1599	[(pmdeta)Ni(-B-CO ₂ -)] Komplex 10 : 1605	-6	[bipyNi(-B-CO ₂ -)] Komplex 17 : 1604	-5
C	$5:[(C)\mathrm{Ni}(C\text{-}C\mathrm{O}_2)]_n$	1651	[(pmdeta)Ni(-C-CO ₂ -)] Komplex 11 : 1624	27	[bipyNi(-C-CO ₂ -)] Komplex 18 : 1630	21
D	$6 : [(\mathbf{D})\mathrm{Ni}(\mathrm{D\text{-}CO}_2)]_{\mathrm{n}}$	1605	[(pmdeta)Ni(-D-CO ₂ -)] Komplex 12 : 1623	-18	[bipyNi(-D-CO ₂ -)] Komplex 19 : 1632	-27
E	_	_	[(pmdeta)Ni(-E-CO ₂ -)] Komplex 13 : 1623	- -	[bipyNi(-E-CO ₂ -)] Komplex 20 : 1632	_ _
F	$7:[(F)Ni(F\text{-}CO_2)]_n$	1556	[(pmdeta)Ni(-F-CO ₂ -)] Komplex 14 : 1627	-71	[bipyNi(-F-CO ₂ -)] Komplex 21 : 1635	-89
G	$8 : [(\mathbf{G})\mathrm{Ni}(\text{E-CO}_2)]_n$	1655	[(pmdeta)Ni(-G-CO ₂ -)] Komplex 15 : 1667	-12	[bipyNi(-G-CO ₂ -)] Komplex 22 : 1626	29

 $\Delta_1 = \nu_{\rm CO} ({\rm fremdligandfreier\ Komplex}) - \nu_{\rm CO} ({\rm pmdeta\text{-}Komplex}); \ \Delta_2 = \nu_{\rm CO} ({\rm fremdligandfreier\ Komplex}) - \nu_{\rm CO} ({\rm bipy\text{-}Komplex}); \ \Delta_3 = \nu_{\rm CO} ({\rm fremdligandfreier\ Komplex}) - \nu_{\rm CO} ({\rm bipy\text{-}Komplex}); \ \Delta_4 = \nu_{\rm CO} ({\rm fremdligandfreier\ Komplex}) - \nu_{\rm CO} ({\rm bipy\text{-}Komplex}); \ \Delta_5 = \nu_{\rm CO} ({\rm fremdligandfreier\ Komplex}) - \nu_{\rm CO} ({\rm bipy\text{-}Komplex}); \ \Delta_5 = \nu_{\rm CO} ({\rm fremdligandfreier\ Komplex}) - \nu_{\rm CO} ({\rm bipy\text{-}Komplex}); \ \Delta_5 = \nu_{\rm CO} ({\rm fremdligandfreier\ Komplex}) - \nu_{\rm CO} ({\rm bipy\text{-}Komplex}); \ \Delta_7 = \nu_{\rm CO} ({\rm fremdligandfreier\ Komplex}) - \nu_{\rm CO} ({\rm bipy\text{-}Komplex}); \ \Delta_8 = \nu_{\rm CO} ({\rm fremdligandfreier\ Komplex}) - \nu_{\rm CO} ({\rm bipy\text{-}Komplex}); \ \Delta_9 = \nu_{\rm CO} ({\rm fremdligandfreier\ Komplex}) - \nu_{\rm CO} ({\rm bipy\text{-}Komplex}); \ \Delta_9 = \nu_{\rm CO} ({\rm fremdligandfreier\ Komplex}) - \nu_{\rm CO} ({\rm bipy\text{-}Komplex}); \ \Delta_9 = \nu_{\rm CO} ({\rm fremdligandfreier\ Komplex}) - \nu_{\rm CO} ({\rm bipy\text{-}Komplex}); \ \Delta_9 = \nu_{\rm CO} ({\rm fremdligandfreier\ Komplex}) - \nu_{\rm CO} ({\rm bipy\text{-}Komplex}); \ \Delta_9 = \nu_{\rm CO} ({\rm fremdligandfreier\ Komplex}) - \nu_{\rm CO} ({\rm bipy\text{-}Komplex}); \ \Delta_9 = \nu_{\rm CO} ({\rm fremdligandfreier\ Komplex}) - \nu_{\rm CO} ({\rm bipy\text{-}Komplex}); \ \Delta_9 = \nu_{\rm CO} ({\rm fremdligandfreier\ Komplex}) - \nu_{\rm CO} ({\rm bipy\text{-}Komplex}); \ \Delta_9 = \nu_{\rm CO} ({\rm fremdligandfreier\ Komplex}) - \nu_{\rm CO} ({\rm bipy\text{-}Komplex}); \ \Delta_9 = \nu_{\rm CO}$



Schema 3 Bildungsreaktionen und Strukturformel für die Verbindungen 11 (R¹: Methyl-, R²: Furfuryliden-) und 13 (R¹: Methyl-, R²: Furfuryliden-) bzw. 22 (unten, R²: Furfuryliden-)

Die bipy-stabilisierte nickelacyclische Verbindung 22 wird aus Ferrocenaldehyd-N-furfurylidenimin F und CO_2 am Ni-Atom aufgebaut.

Umkristallisation aus Ethanol liefert Einkristalle, die noch ein Mol Ethanol pro Metallacyclus enthalten. Die Kristallstrukturanalyse zeigt, dass das Solvensmolekül über eine Wasserstoffbrückenbindung mit dem Carbonylsauerstoffatom der Carbamatogruppe verknüpft ist. Bindungslängen und -winkel der Verbindung liegen im übli-

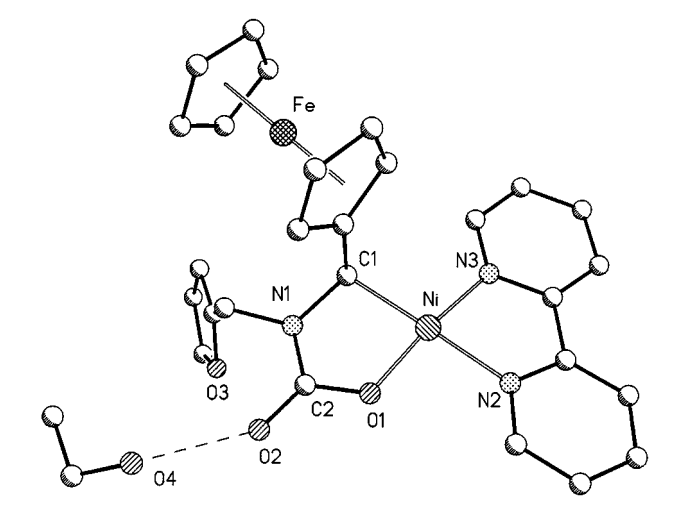


Abb. 9 Festkörperstruktur des ferrocenylsubstituierten Komplexes **22** mit ausgewählten Atomabständen/Å und Bindungswinkeln/°:

Ni-O1 1.851(2), Ni-C1 1.943(2), Ni-N2 1.959(2), Ni-N3 1.917(2), O1-C2 1.307(3), O2-C2 1.247(3), O2-O4 2.716(2), C2-N1 1.367(3), C1-N1 1.473(3), O1-Ni-C1 84.40(8), O1-Ni-N2 92.42(8), O1-Ni-N3 171.70(7), C1-Ni-N2 175.08(8), C1-Ni-N3 100.41(8), N2-Ni-N3 83.20(8), Ni-O1-C2 115.7(1), O1-C2-O2 122.9(2), O1-C2-N1 114.4(2), O2-C2-N1 122.7(2), C2-N1-C1 115.0(2), N1-C1-Ni 104.4(1).

chen Bereich. Das Nickel(II)-Zentrum hat planare Umgebung (Abbildung 9).

Die CO-Valenzschwingung der einzählig koordinierenden Carbamatgruppe wird bei 1630 cm⁻¹ gefunden (Tabelle 1). Der analoge Komplex mit *pmdeta* zeigt die entsprechende CO-Bande bei 1624 cm⁻¹.

Zwei weitere nickelacyclische Carbamate mit *pmdeta* als Liganden wurden ebenfalls im festen Zustand durch Kris-

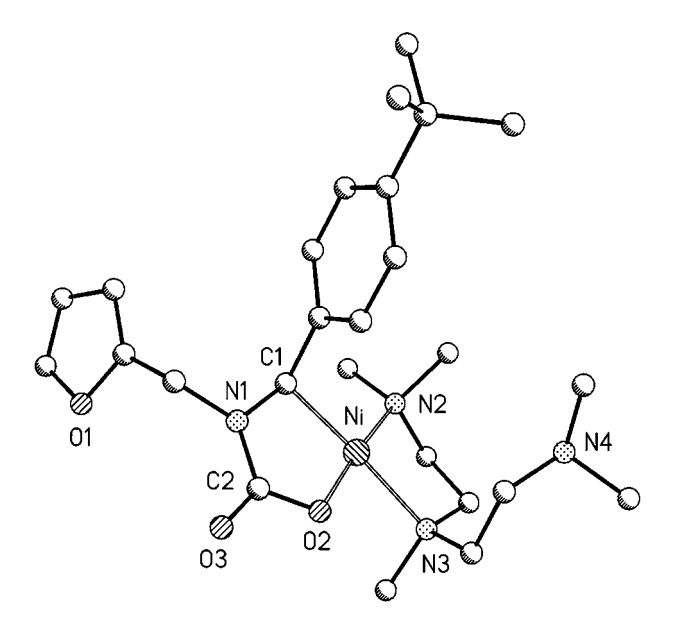


Abb. 10 Molekülstruktur des Komplexes 13 und ausgewählte Atomabständen/Å und Bindungswinkeln/° für 13 sowie die analoge Verbindung 11

Verbindung 13: Ni-Cl 1.952(2), Ni-O2 1.858(1), Ni-N2 1.977(2), Ni-N3 2.036(2), C2-O2 1.318(2), C2-O3 1.243(2), C2-N1 1.366(2), N1-Cl 1.465(2), O2-Ni-Cl 85.19(7), O2-Ni-N2 172.45(6), O2-Ni-N3 88.06(6), Cl-Ni-N2 99.77(7), Cl-Ni-N3 172.58(7), N2-Ni-N3 87.26(7), Ni-O2-C2 116.4(1), O2-C2-O3 123.3(2), O2-C2-N1 113.4(2), O3-C2-N1 123.2(2), C2-N1-Cl 117.9(2), N1-Cl-Ni 104.8(1).

Verbindung 11 (mit analoger Struktur): Ni-C1 1.943(3), Ni-O2 1.850(2), Ni-N2 1.967(2), Ni-N3 2.032(2), C2-O2 1.320(3), C2-O3 1.241(3), C2-N1 1.367(3), N1-C1 1.473(3), O2-Ni-C1 85.95(9), O2-Ni-N2 174.2(1), O2-Ni-N3 87.46(8), C1-Ni-N2 99.0(1), C1-Ni-N3 173.27(9), N2-Ni-N3 87.61(9), Ni-O2-C2 116.6(2), O2-C2-O3 123.1(2), O2-C2-N1 113.3(2), O3-C2-N1 123.4(2), C2-N1-C1 117.9(2), N1-C1-Ni 104.9(2).

tallstrukturanalysen charakterisiert. Abbildung 10 weist aus, dass die mit der Schiffschen Base p-Methylbenzaldehyd-N-furfurylidenimin C und dem *t*-butylsubstituiertem Derivat E gebildeten Metallacyclen 11 und 13 ebenfalls monomer sind, und dass der potentiell dreizählige Ligand *pmdeta* nur zwei seiner N-Atome zur Koordination nutzt. Auf diese Weise resultieren planare Nickel(II)-Verbindungen, in denen die relevanten Bindungslängen und -winkel sehr ähnlich sind und typische Werte einnehmen [21, 22].

Wie Tabelle 1 ausweist, unterscheiden sich die Wellenzahlen der CO-Valenzschwingung im cyclischen Hexameren **1a** (1582 cm⁻¹) stark von denen des dimeren Typs **1b** (1663 cm⁻¹), was auf die unterschiedliche Koordination der Carbamatogruppen zurückzuführen ist.

Wenn man nun die Differenzen in den Wellenzahlen der CO-Valenzschwingungsbanden zwischen fremdligandfreiem cyclohexameren Komplex 1a und seinen monomeren *pmdeta*- bzw. *bipy*-Derivaten 9 bzw. 16 ermittelt ($\Delta_1 = -89$ bzw. $\Delta_2 = -68$ cm⁻¹) und mit den analogen Differenzen des Dimeren 1b vergleicht ($\Delta_1 = 29$ bzw. $\Delta_2 = 45$ cm⁻¹, Tabelle 1) dann fällt ein signifikanter Unterschied auf, den man nutzen kann, um die wahrscheinliche

Struktur anderer fremdligandfreier Komplexe zu ermitteln

So bildet das Azomethin para-Methylbenzaldehyd-N-furfurylidenimin C einen fremdligandfreien Komplex der analogen analytischen Zusammensetzung wie $\mathbf{1a}$ bzw. des Isomeren $\mathbf{1b}$. Anhand der Differenzen in den CO-Valenzschwingungsbanden ($\Delta_1=27$; $\Delta_2=21~\text{cm}^{-1}$) folgt jedoch, dass sich in diesem Fall nicht ein cyclisches Hexameres gebildet haben kann, sondern sehr wahrscheinlich ein Dimeres entstanden ist (Tabelle 1). In gleicher Weise können die anderen Zuordnungen der Tabelle ermittelt werden

Daraus ergibt sich, dass lediglich in einem einzigen weiteren Fall die Bildung eines macrocyclischen Hexameren sehr wahrscheinlich ist, nämlich mit Furfurylaldehyd-Nfurfuryliden-imin **D** als Azomethin, das mit CO₂ am Ni⁰-Zentrum zur Verbindung **6** führt. Die Differenzen in den CO-Valenzschwingungsbanden entsprechen ziemlich genau denen im strukturell geklärtem Komplex **1a**.

Damit ist verallgemeinernd festzustellen, dass die Bildung des ungewöhnlichen Metallamacrocyclus **1a** als Ausnahme zu betrachten ist, die bisher nur für eine weitere Verbindung wahrscheinlich gemacht werden konnte, in der die verwendete Schiffsche Base eng mit der von **1a** verwandt ist. Sofern andere Schiffsche Basen ebenfalls mit CO₂ in Abwesenheit anderer Liganden reagieren, werden offensichtlich Dimere gebildet. Das dürfte auch für den ferrocenylsubstituierten Komplex gelten, der zwei unterschiedliche Metall-Atome hat, und von dem durch Änderung der Oxidationsstufe am Fe^{II} möglicherweise "schaltbare" Strukturen und Reaktivitäten des nickelacyclischen Rings zu erwarten sind.

Experimenteller Teil

Die eingesetzten Lösungsmittel Diethylether, Tetrahydrofuran, und verschiedene Kohlenwasserstoffe wurden über KOH vorgetrocknet und anschließend ketyliert. Halogenierte Lösungsmittel wurden über CaH_2 , Aceton mit P_2O_5 getrocknet und abdestilliert. Alle Lösungsmittel wurden unter Schutzgas über Molsieb 3Å aufbewahrt.

Die Aufnahme der ¹H- und ¹³C- NMR-Spektren erfolgte mit einem Bruker AC 200 F. Die ¹H-NMR-Spektren wurden bei einer Frequenz von 200 MHz, die ¹³C-NMR-Spektren bei einer Frequenz von 50 MHz registriert. FAB- und EI-MS-Spektren wurden an dem Gerät SSQ 710 der Firma Finnigan Mat registriert. ESI-MS-Spektren wurden am Gerät MAT 95XL des selben Herstellers aufgenommen. C, H, N- Analysen wurden mit einem Leco CHNS-932 durchgeführt. IR-Messungen wurden mit einem Perkin-Elmer-System 2000 FT-IR durchgeführt. Die Proben wurden, soweit nichts anderes vermerkt ist, als Nujolverreibungen vermessen

Das cyclische Hexamer 1a wurde gemäß [1] in THF oder 1.4-Dioxan hergestellt. Die Synthese der substituierten Schiffschen Basen wurde ausgehend von Furfurylidenamin (Aldrich) und den entsprechenden substituierten Benzaldehyden (Aldrich) analog zu [28, 29] durchgeführt.

Ferrocencarbaldehyd, 2.2'-Bipyridin (*bipy*) und N,N',N',N",N"-Pentamethyldiethylentriamin (*pmdeta*) (Aldrich) wurden ohne weitere Reinigung eingesetzt.

Schiffsche Basen des Furfurylidenamins:

p-Hydroxybenzaldehyd-N-furfurylidenimin (Ligand **B**):

IR (Nujol): 3143 ($v_{\rm OH}$), 1638 ($v_{\rm C=N}$), 1602, 1594, 1585 ($v_{\rm C=C}$) cm⁻¹. 1 H-NMR ($C_{\rm 2}D_{\rm 5}$ OD): δ =8,25m (s, 1H, =CH-), 7,76-7,56 und 6,86-6,79 (m, 4H, Ph-), 7,40-7,39 und 6,34-6,24 (m, 3H, Furyl-), 4,67 (m, 2H, -CH₂-). 13 C-NMR ($C_{\rm 2}D_{\rm 5}$ OD): 164,99 (=CH-), 161,76, 153,22 und 131,11 (Ph-), 142,94, 127,76, 110,96 und 108,07 (Furyl-).

Einkristalle wurden aus Ethanol gewonnen und für eine Kristallstrukturanalyse verwendet.

para-Methylbenzaldehyd-N-furfurylidenimin (Ligand C):

Im Gegensatz zu den anderen Iminen, ist der Ligand C bei Raumtemperatur flüssig und kann deshalb mit einer Hochvakuumpumpe destillativ gereinigt werden. Die Substanz siedet bei 32 °C und einem Druck von $5,3\cdot10^{-5}$ mbar. IR (Nujol): $1646 \ (v_{C=N}) \ 1598(v_{C=C}) \ cm^{-1}$.

p-Methoxybenzaldehyd-N-furfurylidenimin (Ligand **D**):

IR (Nujol) cm $^{-1}$: 1648 (v_{C=N}); 1605 (v_{C=C} Phenyl- breit, darunter v_{C=C} Furyl-).

p-tert.Butylbenzaldehyd-N-furfurylidenimin (Ligand E):

IR (Nujol) cm⁻¹: 1646 ($\nu_{C=N}$); 1595 ($\nu_{C=C}$ Phenyl-); 1577 ($\nu_{C=C}$ Furyl-).

Furylaldehyd-N-furfurylidenimin (Ligand **F**):

IR (Nujol): 1645 ($v_{C=N}$), 1609 ($v_{C=C}$).

Ferrocencarbaldehyd-N-furfurylidenimin (Ligand G):

Ein Äquivalent Ferrocencarbaldehyd wurde mit einem Äquivalent Furfurylidenamin bei -20 °C in Toluol zusammengegeben und unter ständigem Rühren auf Raumtemperatur erwärmt. Nach zwei Stunden wurde das Wasser entfernt, und der Ligand wurde bei -20 °C kristallisiert. Alle Syntheseschritte erfolgten unter Argon sowie weitgehend unter Lichtausschluß. IR (Nujol): 1635 ($\nu_{C=N}$); 1593 ($\nu_{C=C}$ cp) cm $^{-1}$.

Komplex 2: 313 mg (0,1 mmol) des Makrocyclus 1a und 75 mg (0,4 mmol) Benzaldehyd-N-furfuryliden-imin werden in 25 ml THF suspendiert und unter $\rm CO_2$ -Atmosphäre bei Raumtemperatur etwa 20 h gerührt, bis eine klare orangefarbene Lösung entstanden ist. Nach Zugabe von 157 mg (0,6 mmol) Triphenylphosphin färbt sich die Lösung schnell dunkelrot. Nach 2 h werden 25 ml Diethylether zugegeben. Bei $-20~\rm ^{\circ}C$ erhält man aus dieser Lösung nach 48 h schwarzrote Kristalle. Langsame Kristallisation aus verdünnter THF-Lösung liefert Einkristalle, die pro Nickel ein Molekül THF enthalten und die für eine Kristallstrukturanalyse geeignet sind. $\rm C_{86}H_{74}N_4Ni_4O_8P_2$ (1588,3) Ausb.: 112 mg (47 %). C 64,85 (ber. 65,04), H 4,75 (4,70), N 3,53 (3,50), Ni 14,61 (14,78), P 3,74 (3,90) %.

IR (Nujol): 1583 (ν_{CO}), 1571 ($\nu_{C=C,\ C=N}$) cm $^{-1}$, MS (DEI): m/z (%) 262 [Ph₃P]⁺ (100), 185 [Azomethin]⁺

Komplex 3: 550 mg (0,18 mmol) 1a reagieren mit 230 mg (1,2 mmol) Benzaldehyd-N-furfuryliden-iminhydrochlorid in 20 ml THF innerhalb von 24 Stunden zu 3, das in Form einer braunen mikrokristallinen Verbindung aausfällt. Ein Teil von 3 kristallisiert in Form von Einkristallen, die füe eine Kristallstrukturanalyse geeignet sind. Die Verbindung ist in THF und Toluol unlöslich. Auch andere Aminhydrochloride (z.b. [Et₃NH⁺] Cl⁻) reagieren analog mit 1a oder 1b in THF zu 3.

Ausb.: 367 mg (80 %). $C_{24}H_{23}N_2O_2ClNi$ (465,6); C 60,84 (ber. 61,91), H 5,12 (4,98), N 5,96 (6,02), Cl 7,55 (7,61), Ni 12,36 (12,61) %.

IR (Nujol): $1617(v_{C=N})$, 1596 ($v_{C=C}$ Phenyl-), 1575 ($v_{C=C}$ Furyl-) cm⁻¹.

Komplex 4: Die Suspension von 275 mg (1 mmol) (cod)₂Ni und 625 mg (3,1 mmol) Ligand **B** in 30 ml THF wird bei Raumtempera-

tur mit CO₂ gesättigt. Nach 12 h Reaktionszeit kann ein gelbes Pulver isoliert werden. Das Produkt wird in 20 ml Ethanol bei Raumtemperatur supendiert, mit 400 mg Ligand **B** versetzt und unter einer CO₂-Atmosphäre so lange am Rückfluß gekocht, bis alles in Lösung geht. Dann wird die Reaktionsmischung langsam abgekühlt und bei Raumtemperatur stehengelassen. Die entstehenden braunen Kristalle und das hellbraune Pulver werden auf einer G-4-Fritte gesammelt und mit Diethylether gewaschen. Die Verbindung kristallisiert mit einem Mol Ethanol aus.

Ausb.: 425 mg (56 %). C₃₉H₃₉N₃O₉Ni (752,5); C 62,50 (ber. 62,24), H 5,19 (5,19), N 5,63 (5,63), Ni 7,93 (7,80) %.

IR (Nujol): 3578, 3122 ($v_{\rm OH}$), 1613 ($v_{\rm C=N}$), 1598 ($v_{\rm C=O}+v_{\rm C=C}$ Phenyl-), 1584 ($v_{\rm C=C}$ Furyl-) cm⁻¹. ¹H-NMR ($C_2D_5{\rm OD}$): δ =8,25 (m, 1H, =CH-), 7,77-7,57 und 6,83-6,79 (m, 4H, Ph-) 7,40-7,36 und 6,33-6,23 (m, 3H, Furyl-) 4,66 (m, 2H, -CH₂-), 3,47 (1H, Ni-CH). $_{11}{\rm C}$ -NMR ($C_2D_5{\rm OD}$): 164,99 (= CH-), 161,76, 153,22 und 131,11 (Ph-), 142,94, 127,76, 110,96 und 108, 07 (Furyl-), 71,17 (Ni-CH).

Einkristalle von 4 wurden beim sehr langsamen Abkühlen einer verdünnten ethanolischen Lösung erhalten.

Die Komplexe 5 bis 9 wurden, wenn nicht anders vermerkt, auf dem gleichen Weg wie 1a/1b synthetisiert. Bei der Verwendung von THF oder Benzol als Lösungsmittel ergaben sich keine Unterschiede in den spektralen Eigenschaften der Komplexe. Einige Komplexe kristallisieren mit Lösungsmittel aus.

Komplex 5: Ausb.: 65 %. $C_{27}H_{26}N_2O_4Ni$ (501,2); N 5,10 (5,59), Ni 11,37 (11,71) %.

IR (Nujol): 1651 ($v_{C=O}$), 1629 ($v_{C=N}$), 1607 ($v_{C=C}$ Phenyl-), 1575 ($v_{C=C}$ Furyl-) cm $^{-1}$.

Komplex 7: Ausb.: 70 %. C₂₁H₁₈N₂O₆Ni (453,1); C 55,08 (55.66), H 4,34 (4,00), N 6.37 (6,18), Ni 13,18 (12,96) %.

IR (Nujol): 1638 ($v_{C=N}$), 1556 ($v_{C=O} + v_{C=C}$) cm⁻¹.

Komplex 8: Die Verbindung kristallisiert mit einem halben Molekül Lösungsmittel (Toluol) pro Nickel aus. Ausb.: 80%. $C_{36,5}H_{34}N_2O_4$. Fe₂Ni (735,06); C 59,64 (59,54), H 5,18 (4,66), N 3,62 (3,81), Ni 7,87 (7,98) %.

IR (Nujol): 1655 ($v_{C=O}$); 1632 ($v_{C=N}$) cm⁻¹.

Komplex 6: Die Verbindung enthält ein halbes Molekül Lösungsmittel (THF) pro Nickel.

Ausb.: 70 %. $C_{29}H_{30}N_2O_6Ni$ (569,3); N 4,82 (4,92), Ni 10,37 (10,31) %.

IR (Nujol): 1636 ($\nu_{C=N}$), 1605 ($\nu_{C=O}$), 1577 ($\nu_{C=C}$ Furyl-) cm $^{-1}$.

Komplex 9: Die auf 0 °C abgekühlte Suspension von 275 mg (1 mmol) (cod)₂Ni, 1,4 g (8 mmol) pmdeta und 200 mg (1,1 mmol) Ligand A in 15 ml THF wird mit CO₂ gesättigt. Die anfänglich rote Lösung verändert ihre Farbe beim anschließenden zweistündigen Rühren nach gelb-braun. Anschließend wird über eine mit ausgeheiztem Kieselgel belegte G4-Fritte filtriert. Nach 12 Stunden wird 9 in Form von orange-braunen Kristallen zusammen mit einem braun-gelbem Pulver erhalten. Nach Waschen mit Diethylether und Trocknung im Vakuum, kann die reine Verbindung isoliert werden. Die Verbindung enthält ein halbes Molekül Lösungsmittel (THF) pro Nickel.

Ausb.: 322 mg (70 %). $C_{24}H_{38}N_4O_{3,5}Ni$ (497,3); C 56,81 (ber. 57,96), H 7,79 (7,70), N 11,81 (11,27), Ni 11,97 (11,80) %.

IR (Nujol): 1618s ($v_{C=O}$), 1590 ($v_{C=C}$ Phenyl-), 1578 ($v_{C=C}$ Furyl-) cm⁻¹.

Die Komplexe 10 bis 15 werden analog zu 9 synthetisiert. *Komplex 10*: Ausb.: 75 %. $C_{22}H_{34}N_4O_4Ni$ (477,3); N 11,65 (11,74), Ni 12,07 (12,30) %.

IR (Nujol): 3104 (v_{OH}), 1605 ($v_{C=O}$), 1589 ($v_{C=C}$) cm⁻¹.

Komplex 11: Die Verbindung kristallisiert aus THF bei $-20\,^{\circ}$ C in Form einer braunen kristallinen Verbindung aus, die noch ein halbes Molekül THF pro Nickel enthält. Einkristalle dieser Zusammensetzung lassen sich nach langsamem Abkühlen aus der Mutterlauge gewinnen und sind für eine Kristallstrukturanalyse geeignet. Ausb.: 70 %. $C_{25}H_{40}N_4NiO_{3,5}$; (511,3); N 11,03 (10,98), Ni 11,2 (11,48) %.

IR (Nujol): 1624 ($v_{C=O}$), 1592 ($v_{C=C}$ Phenyl-), 1574 ($v_{C=C}$ Furyl-) cm⁻¹.

Komplex 12: Der Komplex enthält noch ein halbes Mol THF pro Nickel. Ausb.: 75 %. $C_{25}H_{40}N_4NiO_{4,5}$ (528,2); N 11,04 (10,61), Ni 11,29 (11,11) %.

IR (Nujol): 1623 ($v_{C=O}$), 1578 ($v_{C=C}$ Furyl-, Phenyl-) cm⁻¹.

Komplex 13: Die Verbindung fällt mit einem Molekül Lösungsmittel (THF) an, die elementaranalytischen Daten beziehen sich auf die THF-haltige Verbindung.

Ausb.: 210 mg (35 %). $C_{30}H_{50}N_4O_3Ni$ (589,4); Ni 10,12 (9,94)

IR (Nujol): 1623 ($v_{C=O}$, darunter $v_{C=C}$ Phenyl-), 1574 ($v_{C=C}$ Furyl) cm⁻¹.

Einkristalle der solvensfreien Verbindung, die für eine Kristallstrukturanalyse geeignet waren, wurden aus verdünnten Lösungen in THF bei –18 °C gewonnen.

Komplex 14: Die Verbindung kristallisiert mit einem halben Molekül Lösungsmittel (THF) pro Nickel aus.

Ausb.: 85 %. $C_{22}H_{36}N_4O_{4,5}Ni$ (487,3); N 11,62 (11,50), Ni 11,94 (12,05) %.

IR (Nujol): 1627 ($v_{C=O} + v_{C=C}$) cm⁻¹.

Komplex 15: Die Verbindung kristallisiert mit einem halben Molekül Lösungsmittel (THF) pro Nickel aus. Ausb.: 60 %. $C_{28}H_{42}N_4O_{3,5}$ FeNi (605,2); N 8,91 (9,26), Fe 9,34 (9,23), Ni 10.19 (9,70) %.

IR (Nujol): 1667 ($v_{C=O}$), 1640 ($v_{C=C}$) cm⁻¹.

Komplex 16: Die Lösung von 275 mg (1 mmol) (cod)₂Ni, 190 mg (1,05 mmol) A und 160 mg (1 mmol) bipy in 20 ml THF wird auf 0 °C abgekühlt und anschließend mit CO₂ gesättigt. Dabei ändert sich die Farbe der Lösung sofort von Violett nach Rot. Bereits nach wenigen Minuten beginnt 16 als ein rotes Pulver auszufallen und nach ca. zwei Stunden kann 16 nahezu quantitativ isoliert werden. Ausb.: 420 mg (95 %). C₂₃H₁₉N₃O₃Ni (444,1); C 61,84 (ber. 62,20), H 4,55 (4,31), N 9,37 (9,46) %.

IR (Nujol): 1635s ($v_{C=O}$), 1604 ($v_{C=N}$ bipy), 1592 ($v_{C=C}$ Phenyl-), 1571 ($v_{C=C}$ Furyl-) cm $^{-1}$.

Die Komplexe 17 bis 22 werden analog zu 16 synthetisiert.

Komplex 17: Ausb.: 440 mg (95 %). $C_{23}H_{19}N_3O_4Ni$ (460,1); Ni 12,55 (12,76) %.

IR (Nujol): 3102 (v_{OH}), 1617 ($v_{C=O}$), 1604 ($v_{C=N}$ bipy) cm⁻¹.

Komplex 18: Ausb.: 95 %. $C_{24}H_{21}N_3O_4Ni$ (458,1); N 9,00 (9,17), Ni 12,36 (12,81) %.

IR (Nujol): 1630 ($\nu_{\rm C=O}$), 1605 ($\nu_{\rm C=N}$, bipy, $\nu_{\rm C=C}$ Phenyl-), 1575 ($\nu_{\rm C=C}$ Furyl-) cm $^{-1}$.

Komplex 19: Ausb.: 95 %. C₂₄H₂₁N₃O₄Ni (474,1); C 60,22 (ber. 60,79), H 4,66 (4,46), N 8.87 (8,86) %.

IR (Nujol): 1632 ($v_{C=O}$), 1603 ($v_{C=N}$ bipy + $v_{C=C}$ Phenyl-), 1575 ($v_{C=C}$ Furyl-) cm⁻¹.

Komplex **20**: Ausb.: 95 %. $C_{28}H_{27}N_3O_3Ni$ (512,2); N 8,36 (8,21), Ni 11,53 (11.40) %.

IR (Nujol): 1632 ($v_{C=O}$), 1603 ($v_{C=N}$ bipy + $v_{C=C}$ Phenyl-), 1577 ($v_{C=C}$ Furyl-) cm $^{-1}$.

Komplex **21**: Ausb.: 95 %. C₂₁H₁₇N₃O₄Ni (434,2) Ni 14,27 (13,52) %.

IR (Nujol): 1635 ($v_{C=O}$), 1602 ($v_{C=N}$ bipy + $v_{C=C}$ Phenyl-), 1579 ($v_{C=C}$ Furyl-) cm⁻¹.

Komplex 22: Die braune Verbindung wird aus THF isoliert und enthält ein Molekül THF pro Nickel.

Ausb.: 560 mg (90 %). C₃₁H₃₁N₃O₄FeNi (624,1); N 6,72 (6,73), Fe 8,7 (8,95), Ni 9,12 (9,40) %.

IR (Nujol): 1626 (v_{C=O}), 1603 (v_{C=N} bipy), 1580 (v_{C=C} cp, darunter v_{C=C} Furyl-) cm $^{-1}$.

Unter einer CO_2 -Atmosphäre gelingt es, 20 in siedendem Ethanol zu lösen und durch langsames Abkühlen auf Raumtemperatur in Form von Einkristallen zu erhalten, die noch ein Mol Ethanol pro Metallacyclus enthalten und für eine Kristallstrukturanalyse geeignet sind.

Kristallstrukturanalysen

Die kristallographischen Strukturbestimmungen und die Messungen der Reflexintensitäten erfolgten auf einem Nonius KappaCCD-Diffraktometer mit MoK α -Strahlung ($\lambda = 0.71069 \, \text{Å}$, Graphit-Monochromator) bei −90 °C. Eine Lorentz- und Polarisationskorrektur wurde durchgeführt. Eine Absorptionskorrektur erfolgte nicht [30, 31]. Die Strukturen wurden mittels Direkter Methoden gelöst (SHELXS [32]), wodurch der größte Teil der Nichtwasserstoffatome lokalisiert wurde. Durch Differenzfouriersynthesen konnten die restlichen Nichtwasserstoffatome ermittelt werden. Das erhaltene vorläufige Strukturmodell wurde im Vollmatrix-LSQ-Verfahren anisotrop gegen Fo² verfeinert (SHELXL-97 [33]). Die Wasserstoffatome der Verbindungen 3, B, 4 und 20 wurden mittels Differenzfouriersynthesen lokalisiert und isotrop verfeinert. Die Wasserstoffatome der übrigen Verbindungen wurden in geometrisch idealisierten Positionen berechnet und in die Verfeinerung mit dem 1,2- bis 1,5-fachen isotropen Temperaturfaktor des entsprechenden Nichtwasserstoffatom, an dem das H-Atom gebunden ist, einbezogen [33]. Die relativ hohen R-Werte der Verbindungen 2 und 4 sind auf die ungenügende Kristallqualität zurück zuführen. Die fehlende Kristallqualität sollte an dem jeweiligen Lösungsmittel liegen, welches statistisch nur die Hälfte der Gitterplätze besetzt (Platzbesetzungsfaktor 0.5). XP (SIEMENS Analytical X-ray Instruments, Inc.) wurde für die Darstellung der Strukturen

Kristalldaten für **2** [34]: $C_{86}H_{78}N_4Ni_4O_8P_2 \cdot C_4H_8O$, $Mr = 1664.41~gmol^{-1}$, rote Quader, Kristallgröße $0.20 \times 0.18 \times 0.10~mm^3$, monoklin, Raumgruppe $P2_1/n$, a = 10.746(1), b = 25.308(3), c = 15.418(2) Å, $β = 93.232(6)^\circ$, V = 4186.4(8) ų, T = -90 °C, Z = 2, $ρ_{calcd.} = 1.320~gcm^{-3}$, μ (Mo- $K_α$) = $9.82~cm^{-1}$, F(000) = 1736, insgesamt 10259 Reflexe bis h(-11/0), k(-28/28), l(-17/17) im Bereich von $2.08^\circ \le \theta \le 23.54^\circ$ gemessen, Vollständigkeit $θ_{max} = 95.2$ %, davon 5912 symmetrieunabhängige Reflexe, $R_{int} = 1.000$

0.158, 2984 Reflexe mit $F_o>4\sigma(F_o)$, 489 Parameter, 0 Restraints, $R1_{\rm obs}=0.096,~wR^2_{\rm obs}=0.224,~R1_{\rm all}=0.178,~wR^2_{\rm all}=0.279,$ GOOF = 1.050, Differenzelektronendichte Maximum und Minimum: $0.620~/-0.854~e~{\mathring A}^{-3}.$

Kristalldaten für **3** [34]: C₂₄H₂₃ClN₂NiO₂, Mr = 465.60 gmol⁻¹, braune Quader, Kristallgröße 0.22 × 0.18 × 0.10 mm³, triklin, Raumgruppe P-1, a = 9.7771(7), b = 9.9732(7), c = 12.3812(7) Å, α = 90.615(4), β = 97.976(4), γ = 113.855(4)°, V = 1090.48(13) ų, T= -90°C, Z = 2, ρ_{calcd.} = 1.418 gcm⁻³, μ (Mo-K_α) = 10.35 cm⁻¹, F(000) = 484, insgesamt 8325 Reflexe bis h(-12/12), k(-12/12), l(-15/15) im Bereich von 3.74° ≤ θ ≤ 27.50° gemessen, Vollständigkeit θ_{max} = 98 %, davon 4896 symmetrieunabhängige Reflexe, R_{int} = 0.055, 3496 Reflexe mit F_o > 4σ(F_o), 363 Parameter, 0 Restraints, R1_{obs} = 0.052, wR²_{obs} = 0.085, R1_{all} = 0.090, wR²_{all} = 0.095, GOOF = 1.008, Differenzelektronendichte Maximum und Minimum: 0.283 / -0.385 e Å⁻³.

Kristalldaten für **B** [34]: C₁₂H₁₁NO₂, Mr = 201.22 gmol⁻¹, farblose Quader, Kristallgröße $0.20 \times 0.18 \times 0.12$ mm³, monoklin, Raumgruppe P2₁/n, a = 9.6337(5), b = 10.4561(5), c = 10.6462(6) Å, β = 110.188(3)°, V = 1006.52(9) ų, T = -90 °C, Z = 4, ρ_{calcd.} = 1.328 gcm⁻³, μ (Mo-K_α) = .91 cm⁻¹, F(000) = 424, insgesamt 3923 Reflexe bis h(-12/12), k(-13/12), l(-13/13) im Bereich von 2.98° ≤ θ ≤ 27.52° gemessen, Vollständigkeit θ_{max} = 99.4 %, davon 2314 symmetrieunabhängige Reflexe, R_{int} = 0.026, 1798 Reflexe mit F_o > 4σ(Fo), 180 Parameter, 0 Restraints, R1_{obs} = 0.048, wR²_{obs} = 0.095, R1_{all} = 0.074, wR²_{all} = 0.103, GOOF = 1.051, Differenzelektronendichte Maximum und Minimum: 0.180 / -0.206 e Å⁻³.

Kristalldaten für **4** [34]: $C_{37}H_{33}N_3NiO_8 \cdot C_2H_6O$, Mr = 752.44 gmol⁻¹, braune Quader, Kristallgröße $0.20 \times 0.20 \times 0.18$ mm³, monoklin, Raumgruppe C2/c, a = 37.291(2), b = 9.7931(5), c = 26.4107(7) Å, β = 131.574(2)°, V = 7215.4(6) ų, T = -90 °C, Z = 8, ρ_{calcd.} = 1.385 gcm⁻³, μ (Mo- K_a) = 5.98 cm⁻¹, F(000) = 3152, insgesamt 13001 Reflexe bis h(-48/47), k(-12/10), l(-34/34) im Bereich von $3.22^\circ \le \theta \le 27.45^\circ$ gemessen, Vollständigkeit $\theta_{max} = 97.2$ %, davon 8017 symmetrieunabhängige Reflexe, $R_{int} = 0.102$, 5283 Reflexe mit $F_o > 4\sigma(F_o)$, 469 Parameter, 0 Restraints, R1_{obs} = 0.111, wR²_{obs} = 0.153, R1_{all} = 0.181, wR²_{all} = 0.173, GOOF = 1.106, Differenzelektronendichte Maximum und Minimum: 0.971 / -0.512 e Å⁻³.

Kristalldaten für **11** [34]: C₂₃H₃₆N₄NiO₃ · 1/2 C₄H₈O, Mr = 511.32 gmol⁻¹, braune Quader, Kristallgröße 0.28 × 0.24 × 0.18 mm³, triklin, Raumgruppe P1, a = 9.2985(4), b = 9.5205(4), c = 16.2201(4) Å, α = 103.297(2), β = 94.779(2), γ = 102.826(2)°, V = 1348.81(9) ų, T = -90 °C, Z = 2, $\rho_{calcd.}$ = 1.259 gcm⁻³, μ (Mo-K_a) = 7.52 cm⁻¹, F(000) = 548, insgesamt 9631 Reflexe bis h(-10/12), k(-10/12), l(-21/19) im Bereich von 3.18° ≤ θ ≤ 27.51° gemessen, Vollständigkeit θ_{max} = 98.3 %, davon 6092 symmetrieunabhängige Reflexe, R_{int} = 0.028, 5068 Reflexe mit F_o > 4σ(F_o), 304 Parameter, 0 Restraints, R1_{obs} = 0.039, wR²_{obs} = 0.090, R1_{all} = 0.053, wR_{2all} = 0.096, GOOF = 1.018, Differenzelektronendichte Maximum und Minimum: 0.385 / -0.404 e Å⁻³.

Kristalldaten für **13** [34]: $C_{26}H_{42}N_4NiO_3$, $Mr = 517.35 \text{ gmol}^{-1}$, braune Quader, Kristallgröße $0.22 \times 0.18 \times 0.12 \text{ mm}^3$, monoklin, Raumgruppe C2/c, a = 34.316(2), b = 9.5023(3), c = 18.8770(10) Å, β = 114.637(2)°, V = 5595.1(5) ų, <math>T = -90 °C, T = 8, $T = 1.228 \text{ gcm}^{-3}$, $T = 1.228 \text{ gcm$

1.040, Differenzelektronendichte Maximum und Minimum: $0.387 / -0.364 \, e \, \mathring{A}^{-3}$.

Kristalldaten für **22** [34]: $C_{27}H_{23}FeN_3NiO_3 \cdot C_2H_6O$, $Mr = 598.11~gmol^{-1}$, braune Quader, Kristallgröße $0.32 \times 0.22 \times 0.12~mm^3$, monoklin, Raumgruppe $P2_1/n$, a = 12.5179(3), b = 13.7919(4), c = 14.9523(3) Å, $β = 95.934(2)^\circ$, V = 2567.6(1) Å³, T = -90 °C, Z = 4, $ρ_{calcd.} = 1.547~gcm^{-3}$, μ (Mo- $K_α$) = 13.4 cm⁻¹, F(000) = 1240, insgesamt 10480 Reflexe bis h(-16/16), k(-16/17), l(-19/19) im Bereich von $4.96^\circ \le \theta \le 27.48^\circ$ gemessen, Vollständigkeit $θ_{max} = 99.2$ %, davon 5835 symmetrieunabhängige Reflexe, $R_{int} = 0.028$, 4897 Reflexe mit $F_o > 4σ(F_o)$, 427 Parameter, 0 Restraints, $R1_{obs} = 0.035$, $wR^2_{obs} = 0.084$, $R1_{all} = 0.047$, $wR^2_{all} = 0.089$, GOOF = 1.016, Differenzelektronendichte Maximum und Minimum: 0.654 / -0.446 e Å⁻³.

Wir danken der Deutschen Forschungsgemeinschaft (SFB 436) und dem Fonds der Chemischen Industrie für die finanzielle Unterstützung dieser Arbeit.

Literatur

- D. Walther, C. Fugger, H. Schreer, Rainer Kilian, H. Görls, Chem. Eur. J. 2001, 7, 5214.
- [2] W. W. Cleland, T. J. Andrews, S. Gutteridge, F. C. Hartman, G. H. Lorimer, Chem. Rev. 1998, 98, 549 und zitierte Literatur.
- [3] E. Jabri, M. B. Carr, R. P. Hausinger, P. A. Karplus, *Science* 1995, 268, 998.
- [4] P. A. Karplus, M. A. Pearson, R. P. Hausinger, Acc. Chem. Res. 1997, 30, 330.
- [5] M. M. Benning, J. M. Kuo, F. M. Raushel, H. M. Holden, *Biochemistry* 1994, 33, 15001.
- [6] J. L. Vanhooke, M. M. Benning, F. M. Raushel, H. M. Holden, *Biochemistry* 1996, 35, 6020.
- [7] S. Berger, A. Braune, W. Buckel, U. Härtel, M.-L. Lee, Angew. Chem. 1996, 108, 2259; Angew. Chem. Int. Ed. Engl., 1996, 35, 2132.
- [8] F. Lynen, J. Knappe, E. Lorch, G. Jütting, E. Ringelmann, J. P. Lachance, *Biochem. Z.* 1961, 335, 123.
- [9] A. Bacchi, D. Belli Dell' Amico, F. Calderazzo, U. Giurlani, G. Pelizzi, L. Rocchi, Gazz. Chim. Ital. 1992, 122, 429.
- [10] H. H. Kharsch, A. W. Leith, E. Witt, Organometallics 1999, 18, 90
- [11] H. Hoberg, V. Götz, C. Krüger, Y.-H. Tsay, J. Organomet. Chem. 1979, 169, 209.
- [12] J. Sepelak, C. G. Pierpont, E. K. Barefield, J. T, Budz, C. A. Puffenberger, J. Amer. Chem. Soc. 1976, 98, 6178.
- [13] E. K. Barefield, A. M. Carrier, D. P. Sepelak, D. G. Van Derveer, *Organometallics* 1985, 4, 1395.
- [14] M. Matsamuto, K. Nakatsu, K. Tani, A. Nakamura, S. Otsuka, J. Am. Chem. Soc. 1974, 96, 6777.
- [15] E. W. Abel; R. J. Rouley, R. Mason, K. M. Thomas, J. Chem. Soc., Chem. Comm. 1974, 72.
- [16] H. Brunner, J. Wachter, J. Schmidbauer, G. M. Sheldrick, P. G. Jones, *Organometallics*, 1986, 5, 2212.
- [17] H. Brunner, J. Wachter, J. Schmidbauer, G. M. Sheldrick, P. G. Jones, *Angew. Chem.* 1986, 98, 339; *Angew. Chem. Int. Ed.* 1986, 25, 371.
- [18] G. M. Reisner, I. Bernal, Inorg. Chim. Acta 1981, 51, 201.
- [19] H. Brunner, J. Wachter, J. Bernal, M. Creswick, Angew. Chem. 1979, 91, 920; Angew. Chem. Int. Ed. 1979, 18, 861.
- [20] S. S. Crawford, C. B. Knobler, H. D. Kaez, *Inorg. Chem.* 1977, 16, 3201.

- [21] J. A. M. Brandts, E. Kruiswijk, J. Boersma, A. L. Spek, G. van Koten, J. Organomet. Chem. 1999, 585, 93.
- [22] Y.-C. Tsai, M. J. A. Johnson, D. J. Mindiola, C. C. Cummins, W. T. Kloster, T. F. Koetzle, J. Am. Chem. Soc. 1999, 121, 10426.
- [23] D. J. Mindiola, Y.-C. Tsai, R. Hara, Q. Chen, K. Meyer, C. C. Cummins, J. Chem. Soc., Chem. Commun. 2001, 125.
- [24] Y.-C. Tsai, P. L. Diaconescu, C. C. Cummins, *Organometallics* 2000, 19, 5260.
- [25] D. J. Mindiola, C. C. Cummins, *Organometallics*, 2001, 20, 3626
- [26] D. Walther, E. Dinjus, J. Sieler, J. Kaiser, O. Lindquist, L. Anderson, J. Organomet. Chem. 1982, 240, 289.
- [27] R. Kempe, J. Sieler, D. Walther, J. Reinhold, K. Rommel, Z. Anorg. Allg. Chem. 1993, 619, 1105.
- [28] D.Walther, C. Fugger, H. Görls, J. Organomet. Chem. 2000, 597, 116.

- [29] J. Kliegman, R. K. Barnes, Tetrahedron 1970, 26, 2555.
- [30] COLLECT, Data Collection Software; Nonius B.V., Netherlands, 1998.
- [31] Z. Otwinowski & W. Minor, "Processing of X-Ray Diffraction Data Collected in Oscillation Mode", in Methods in Enzymology, Vol. 276, Macromolecular Crystallography, Part A, edited by C.W. Carter & R.M. Sweet, pp. 307-326, San-Diego Academic Press 1997.
- [32] G.M. Sheldrick, Acta Crystallogr. 1990, A46, 467-473.
- [33] G.M. Sheldrick, SHELXL-97, University of Göttingen, Germany, 1993.
- [34] Weitere Einzelheiten zur Kristallstrukturuntersuchung können beim Direktor des Cambridge Crystallographic Data Centre, 12 Union Road, GB-Cambridge CB2 1 EZ, unter Angabe des vollständigen Literaturzitates und der Hinterlegungsnummern CCSD-17064 (2), CCSD-17065 (3), CCSD-17066 (B), CCSD-17067 (4), CCSD-17068 (11), CCSD-17069 (13) und CCSD-17070 (22) angefordert werden.